

7
Chapter

فصل ۷:

نشست خاک

جزوه درس مکانیک خاک (کارشناسی مهندسی عمران)

استاد: عبدالمتین ستایش

@ME2CH

WWW.ME2CH.ROZBLOG.COM

فهرست مطالب فصل هفتم:

مقدمه	۱-۷
مبانی نشست تحکیم	۲-۷
آزمون آزمایشگاهی یک بعدی	۳-۷
رسهای عادی تحکیم یافته و پیش تحکیم یافته	۴-۷
تأثیر دست خوردنگی در نمودار تخلخل - فشار	۵-۷
تأثیر سایر عوامل در رابطه $e - \log p$	۶-۷
محاسبه نشست تحکیم اولیه یک بعدی	۷-۷
نشانه فشردگی	۸-۷
نشانه تورم	۹-۷
نشست به علت تحکیم ثانویه	۱۰-۷
سرعت تحکیم	۱۱-۷
محاسبه نشست تحکیم زیر یک شالوده	۱۲-۷
نشست آنی (ارتجاعی)	۱۳-۷
محاسبه نشست آنی بر پایه تئوری الاستیسیته	۱۴-۷
نشست کل شالوده	۱۵-۷
	-

| ۱-۷ | مقدمه

با تأثیر سربار، تنشهای فشاری در لایه های خاک به وجود آمده و باعث فشرده شدن آن می شود. فشردگی خاک ناشی از تغییر شکل فشاری و جابجایی ذرات خاک، رانده شدن هوا و آب از حفرات خاک و عوامل دیگر می باشد. در یک خاک بخصوص، یک و یا تعدادی از عوامل فوق ممکن است مشارکت داشته باشند. از آنجایی که فشرده شدن^۱ خاک باعث نشست سازه واقع بر روی آن می شود، از نقطه نظر مهندسی به این پدیده، نشست^۲ خاک میگویند. در حالت کلی نشست های خاک به دو گروه زیر تقسیم می شوند:

- ۱- نشست تحکیم^۳ که ناشی از تغییر حجم خاک اشباع به علت رانده شدن آبهای موجود در حفرات است.
- ۲- نشست آنی^۴ که ناشی از تغییر شکل الاستیک خاک خشک و یا خاکهای مرطوب و اشباع بدون هرگونه تغییری در میزان آب می باشد. محاسبات نشست آنی معمولاً بر پایه روابط به دست آمده از تئوری الاستیسیته قرار دارد.

در این فصل مفاهیم پایه برای تخمین نشستهای تحکیم و آنی در لایه های خاک تحت تأثیر سربارهای خارجی ارائه می شود.

| ۲-۷ | مبانی نشست تحکیم

وقتی که یک لایه خاک اشباع تحت تأثیر افزایش تنش قرار گیرد، فشار آب حفره ای به طور ناگهانی افزایش می یابد. در خاکهای ماسه ای که نفوذ پذیری بالاست، زهکشی ناشی از افزایش فشار آب حفره ای سریعاً انجام میشود. زهکشی آب حفره ای همراه با کاهش حجم توده خاک می باشد که نتیجه آن ایجاد نشست است. به علت زهکشی سریع آب حفره ای در خاکهای ماسه ای، نشست تحکیم و آنی در آنها به طور همزمان رخ می دهد.

وقتی که یک لایه خاک رس اشباع ، تحت تأثیر افزایش تنش قرار گیرد ، ابتدا نشست آنی رخ میدهد. اما از آنجایی که ضریب نفوذ پذیری رس به طور قابل ملاحظه ای کوچکتر از ضریب نفوذ پذیری ماسه است، زهکشی آب حفره ای سریعاً انجام نشده و زایل شدن اضافه فشار آب حفره ای ناشی از بارگذاری به طور تدریجی و در یک زمان طولانی رخ میدهد. بنابراین کاهش حجم خاک که از این به بعد آن را تحکیم می نامیم به مدت طولانی بعد از بارگذاری و نشست آنی ادامه خواهد داشت. در خاکهای رسی نرم نشست تحکیم چندین برابر نشست آنی است. شکل ۱-۷ نحوه تبدیلات اضافه تنش در توده خاک اشباع را به هنگام نشست تحکیمی نشان می دهد:

حالی را در نظر بگیرید که یک لایه رس اشباع به ضخامت H که بین دو لایه ماسه ای محدود است تحت افزایش آنی تنش کل $\Delta\sigma$ قرار گیرد. این افزایش تنش کل به آب حفره ای و ذرات خاک انتقال خواهد یافت. این بدان معنی است که تنش کل $\Delta\sigma$ به نسبتی بین تنش موثر و فشار آب حفره ای تقسیم میشود. با استفاده از اصل تنش موثر می توان نوشت:

¹ - Compressibility of soil

² - Settlement

³ - Consolidation settlement

⁴ - Immediate settlement

$$\Delta\sigma = \Delta\sigma' + \Delta u$$

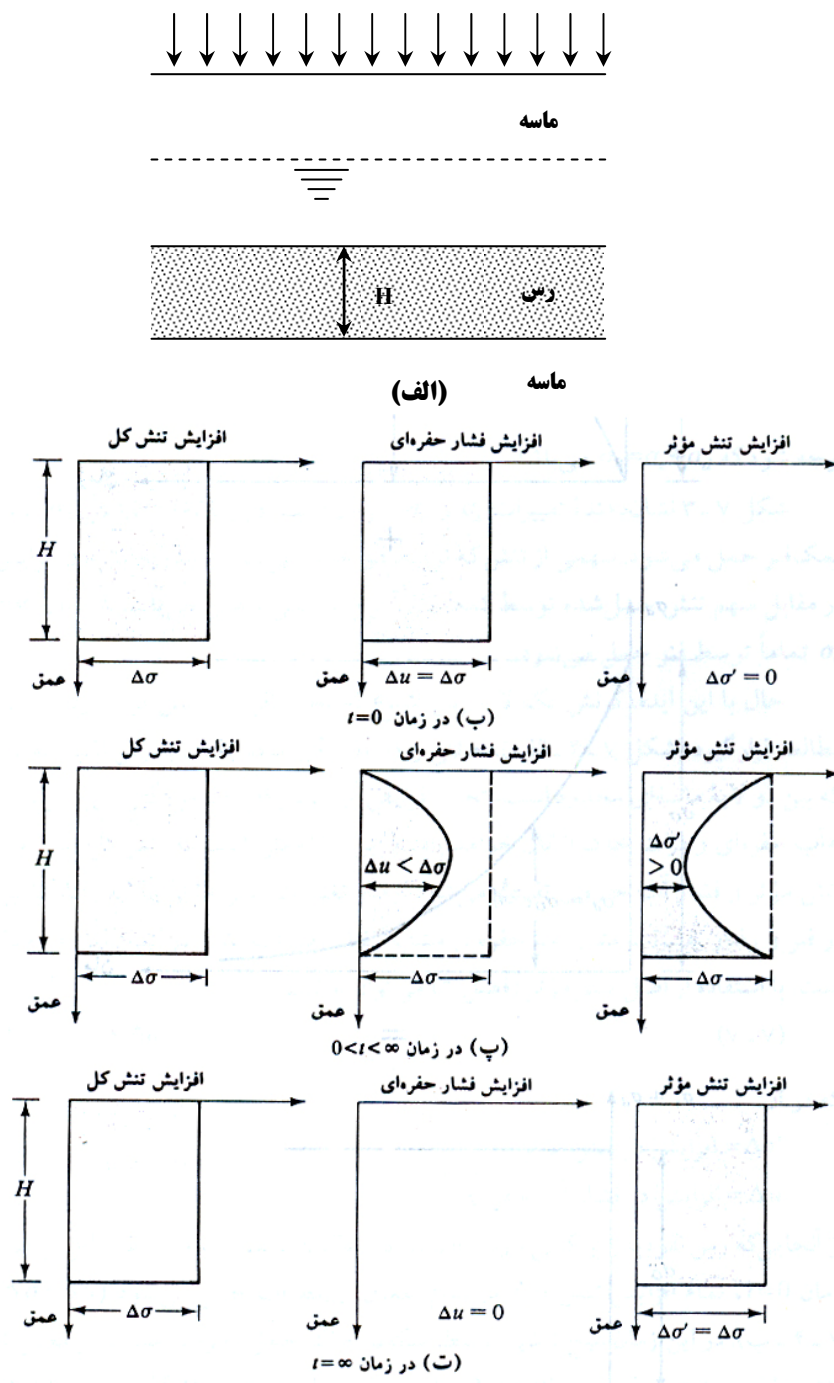
(1-۷)

که در آن:

$$\Delta\sigma' = \text{افزایش در تنش موثر}$$

$$\Delta u = \text{افزایش در فشار آب حفره ای}$$

از آنجایی که رس نفوذ پذیری کمی دارد و آب نیز در مقایسه با اسکلت خاک غیرقابل تراکم است در زمان $t=0$ ، تمام افزایش تنش $\Delta\sigma$ در تمام اعماق توسط آب حمل می شود ($\Delta\sigma = \Delta u$) (شکل ۱-۷-ب). در این زمان هیچ تنشی توسط اسکلت خاک حمل نخواهد شد. بدین معنی که افزایش تنش موثر مساوی صفر است ($\Delta\sigma' = 0$).



شکل ۱-۷-۱ تغییرات تنش کل، فشار آب حفره ای و تنش موثر در یک لایه رس با زهکشی از بالا و پایین در نتیجه افزایش تنش کل

بعد از اعمال افزایش تنش $\Delta\sigma$ به لایه رس آب موجود در حفرات فشرده شده و از هر دو طرف به سمت ماسه ای زهکشی می‌شود. با این فرآیند اضافه فشار حفره ای در هر عمق در لایه رسی به تدریج کاهش می‌یابد و با همین نرخ تنش حمل شده توسط ذرات جامد خاک (تنش مؤثر) افزایش می‌یابد. بنابراین در زمان $\infty < t < 0$ داریم:

$$\Delta\sigma = \Delta\sigma' + \Delta u \quad (\Delta\sigma' > 0 \text{ و } \Delta u < \Delta\sigma)$$

لیکن مقادیر $\Delta\sigma$ و Δu در اعمال مختلف بسته به طول مسیر زهکشی آن نقطه تا لایه تحتانی و یا فوقانی متفاوت است (شکل ۷-۱-پ).

به طور نظری در زمان $t = \infty$ ، تمام فشارهای آب حفره ای اضافی با زهکشی تمام نقاط لایه رسی زایل شده و $\Delta u = 0$ می‌گردد. حال تمام افزایش تنش $\Delta\sigma$ توسط اسکلت خاک حمل می‌شود (شکل ۷-۱-ت). بنابراین:

$$\Delta\sigma = \Delta\sigma'$$

فرآیند تدرجی زهکشی تحت تأثیر اضافه بار و انتقال فشار اضافی آب حفره ای به تنش مؤثر باعث نشست تابع زمان لایه رسی می‌شود.

۳-۷ آزمون آزمایشگاهی یک بعدی

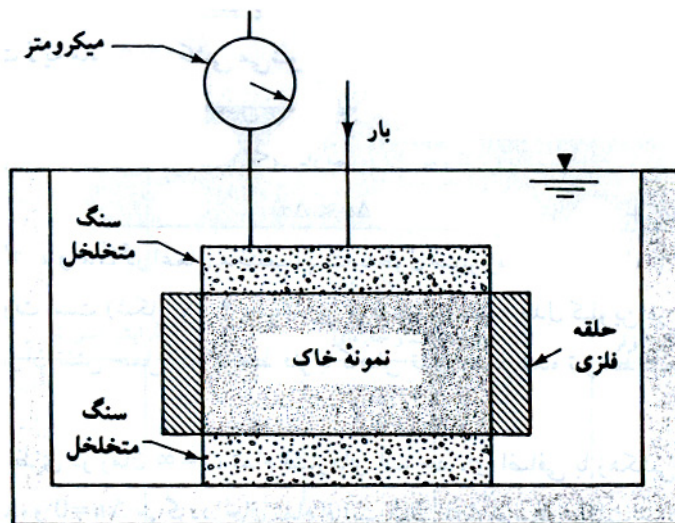
روش آزمایشگاهی تحکیم یک بعدی اول بار توسط ترازاقی پیشنهاد شد. این آزمایش در یک تحکیم سنج که ادئومتر نامیده می‌شود انجام می‌گردد. ادئومتر در شکل ۷-۲ به طور شماتیک نشان داده شده است. نمونه خاک در داخل یک حلقه فلزی قرار داده شده و دو دریوش سنگی متخلخل یکی در بالا و دیگری در پایین آن قرار داده می‌شود. قطر نمونه معمولاً $2/5$ اینچ ($63/5$ میلیمتر) و ضخامت آن یک اینچ ($25/4$ میلیمتر) است. بارگذاری نمونه به وسیله یک اهرم اعمال شده و میزان فشردن توسط یک میکرومتر عقره ای اندازه گیری می‌شود. در حین آزمایش نمونه در داخل آب نگهداری می‌شود. هر بارگذاری برای مدت 24 ساعت حفظ می‌شود. بعد از آن میزان بار معمولاً دو برابر می‌گردد. با دو برابر کردن بار، میزان فشدگی و اندازه گیری فشدگی ادامه می‌یابد. در انتهای آزمایش، وزن خشک نمونه آزمایشی تعیین می‌گردد.

شکل عمومی نمودار تغییر شکل نمونه در مقابل زمان، **برای هر افزایش بار** (به این نکته به دقت توجه نمایید) مطابق شکل ۷-۳ می‌باشد. در روی نمودار سه مرحله مجزا قابل تشخیص است:

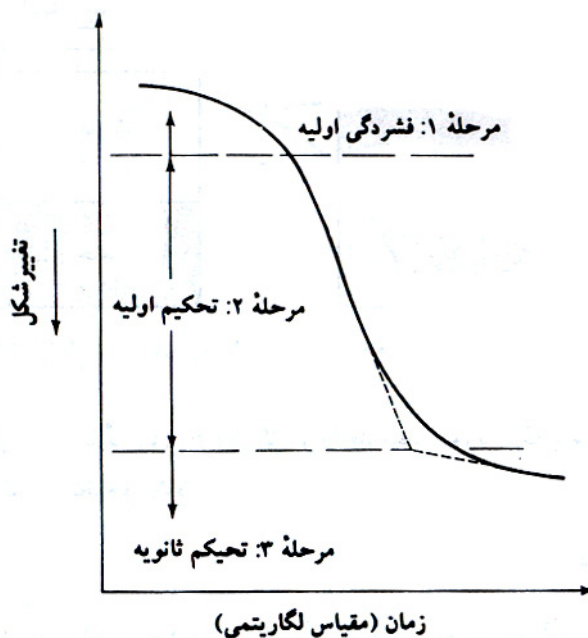
مرحله ۱: فشدگی اولیه که اکثراً به علت پیش بارگذاری است.

مرحله ۲: تحکیم اولیه که طی آن به علت زهکشی آب حفره ای، فشار اضافی آب حفره ای به تدریج به تنش مؤثر تبدیل است.

مرحله ۳: تحکیم ثانویه که بعد از اتمام زایل شدن فشار اضافی آب حفره ای رخ میدهد و علت آن به وجود آمدن تغییر شکلهای پلاستیک در اسکلت خاک است.



شکل ۲-۷ دستگاه تحکیم یک بعدی (ادومتر)



شکل ۳-۷ نمودار تغییر شکل - زمان در حین تحکیم برای افزایش بار معلوم

بعد از تعیین نمودارهای تغییر شکل - زمان برای بارگذاری های مختلف در آزمایشگاه لازم است تغییرات نسبت تخلخل نمونه با فشار مورد مطالعه قرار گیرد. در زیر روش گام به گام برای انجام عمل فوق تشریح می شود:

گام ۱ - نسبت تخلخل اولیه نمونه (e_0) را به صورت زیر محاسبه نمایید (شکل ۴-۷):

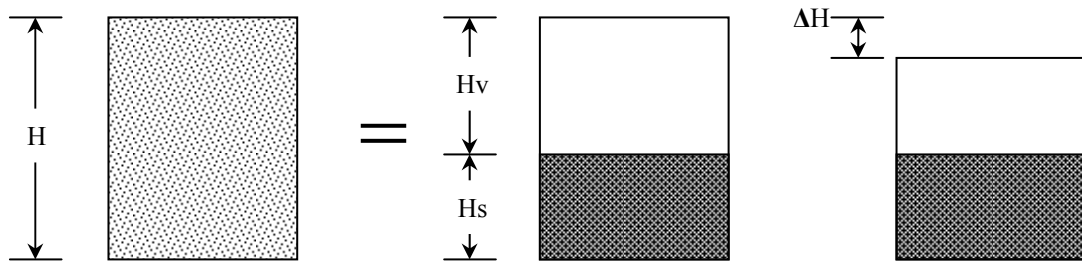
$$e_0 = \frac{V_{vo}}{V_s} \quad (2-7)$$

که در آن :

V_{vo} = حجم حفرات در ابتدای آزمایش

V_s = حجم دانه های جامد

برای بدست آوردن نسبت تخلخل اولیه نیاز به وزن دانه های جامد داریم ولی برای تعیین وزن دانه های جامد باید منتظر بمانیم تا آزمایش تحکیم به اتمام برسد پس از اتمام آزمایش نمونه را در گرمخانه (اون) خشک نموده و وزن می نماییم.



شکل ۷-۴ - تغییرات ارتفاع نمونه در آزمایش تحکیم یک بعدی

پس از تعیین وزن مواد جامد، حجم دانه های جامد به صورت زیر به دست می آید:

$$V_s = \frac{W_s}{\gamma_w \cdot G_s} \quad (3-7)$$

که در رابطه فوق:

$$W_s = \text{وزن خشک نمونه که در آخرین مرحله تعیین کردیم}$$

$$G_s = \text{چگالی دانه ها}$$

$$\gamma_w = \text{وزن مخصوص آب}$$

و V_{vo} که حجم حفرات در ابتدای آزمایش است، از رابطه زیر قابل محاسبه است:

$$V_{vo} = V_o - V_s \quad (4-7)$$

که در رابطه فوق V_o = حجم نمونه در ابتدای آزمایش است.

گام ۲ - پس از بدست آوردن e_0 به روش فوق، کاهش نسبت تخلخل نمونه به ازای هر بارگذاری (Δe) را به کمک رابطه زیر می توان بدست آورد:

$$\frac{\Delta e}{1 + e_0} = \frac{\Delta h}{H_o} \quad (5-7)$$

که در این رابطه:

$$\Delta H = \Delta h \quad \text{نشست نمونه (عقریه میکرومتر) تا پایان روز ۱ ام}$$

$$H_o = \text{ارتفاع اولیه نمونه خاک}$$

$$e_0 = \text{تخلخل اولیه نمونه}$$

اثبات رابطه فوق:

$$\left. \begin{aligned} e_0 &= \frac{V_v}{V_s} = \frac{A \times H_v}{A \times H_s} = \frac{H_v}{H_s} = \frac{H - H_s}{H_s} = \frac{H}{H_s} - 1 \rightarrow 1 + e_0 = \frac{H}{H_s} \\ \Delta e_i &= e_0 - e_i \rightarrow e_i = \frac{H_v - \Delta H}{H_s} = \frac{H_v}{H_s} - \frac{\Delta H}{H_s} = e_0 - \frac{\Delta H}{H_s} \rightarrow \Delta e = e_0 - e_i = \frac{\Delta H}{H_s} \end{aligned} \right\} \rightarrow \frac{\Delta H}{H_o} = \frac{\Delta e}{1 + e_0} \quad (6-7)$$

گام ۳ - با در دست داشتن Δe می توانیم نسبت تخلخل در پایان روز ۱ ام را به صورت زیر بدست آوریم:

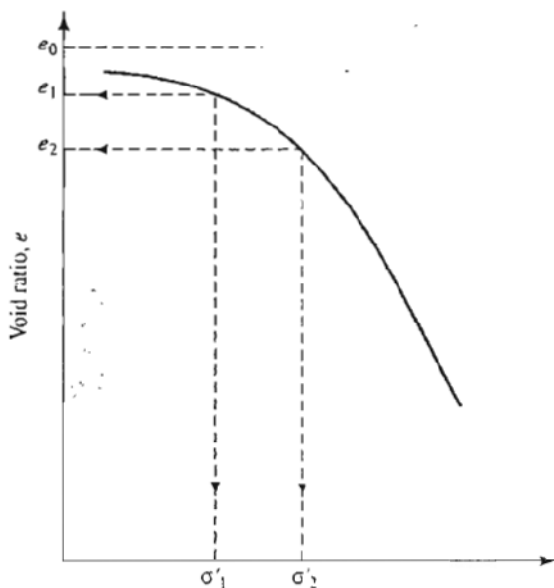
$$\Delta e = e_0 - e_i \quad (7-7)$$

نکته: !

ΔH و Δe نشست و کاهش نسبت تخلخل تا پایان روز ام می‌باشند. حال اگر روز ام را آخرین روز آزمایش تحکیم در نظر بگیریم، در آنصورت ΔH و Δe به ترتیب نشست و کاهش نسبت تخلخل در پایان عمل تحکیم خواهد بود.

۴-۷ رسهای عادی تحکیم یافته و پیش تحکیم یافته

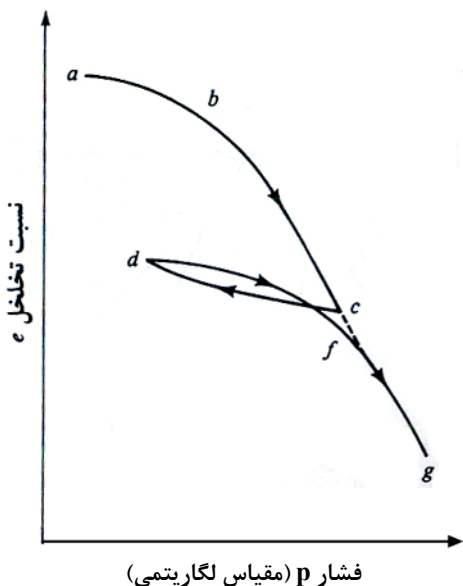
قسمت فوکانی نمودار نسبت تخلخل e در مقابل $\log p$ ، در شکل ۷-۵، یک منحنی با شیب ملائم است که با یک قسمت تقریباً خطی و شیب تند دنبال می‌شود. این موضوع را این طور می‌توان توجیه نمود:



شکل ۷-۵ منحنی تیپ برای نسبت تخلخل e در مقابل لگاریتم فشار تجمعی p

از نقطه نظر تاریخچه زمین شناسی نمونه به دست آمده از عمق تحت تأثیر فشار سربار مؤثری قرار داشته و تحت آن تحکیم یافته است. حداکثر فشار سربار مؤثر ممکن است مساوی و یا بزرگتر از فشار سربار موجود در هنگام نمونه گیری باشد. کاهش سربار ممکن است دارای فرآیند طبیعی (مثل فرسایش) و یا فرآیند انسانی باشد. در هر صورت پس از نمونه گیری، نمونه از فشار سربار موجود نیز آزاد شده و در نتیجه مقداری منبسط می‌شود. وقتی که این نمونه تحت آزمایش تحکیم قرار گیرد، تا جایی که فشار وارد مساوی فشار سربار مؤثر صحراوی در گذشته باشد، مقدار فشردگی (و یا تغییر در نسبت تخلخل) کوچک خواهد بود و در واقع فقط انساط ایجاد شده به علت آزاد شدن فشار سربار در هنگام نمونه گیری جبران می‌شود. وقتی که فشار کل مؤثربنونه در هنگام آزمایش از فشار سربار مؤثر در گذشته باشد، تغییرات تخلخل بزرگتر شده و نمودار در مقابل خطی با شیب تندتر خواهد شد.

موضوع فوق را میتوان در آزمایشگاه با انجام باربرداری در فشاری بزرگتر از فشار سربار مؤثر، اثبات کرد. نمودار تخلخل لگاریتم فشار برای چنین تحقیقی مشابه شکل ۷-۶ خواهد شد که در آن شاخه cd نشان دهنده باربرداری و شاخه fg نشان دهنده فرآیند بارگذاری مجدد است.



شکل ۷-۶ نمودار $\log p$ در مقابل که نشان دهنده تأثیر بازبرداری و بارگذاری مجدد است.

برپایه مطالب ارائه شده از نقطه نظر تاریخچه سربار مؤثر، رسها به دو گروه طبقه بندی می شوند:

۱. رسهای عادی تحکیم یافته که برای آنها فشار سربار موجود حداکثر فشار سربار مؤثری است که نمونه در گذشته تحت تأثیر آن بوده است.
۲. رسهای پیش تحکیم یافته که فشار سربار موجود بر روی آنها، کمتر از فشار سربار حداکثری است که در گذشته نمونه آن را تجربه کرده است. حداکثر فشار سربار مؤثر در گذشته فشار پیش تحکیم نامیده می شود.

کاساگراند (۱۹۳۶) یک روش ترسیمی ساده برای تعیین فشار پیش تحکیم P_c در روی نمودار آزمایشگاهی e در مقابل $\log p$ ارائه داده که با توجه به شکل ۷-۷، مطابق زیر است:

۱. با بررسی چشمی در روی نمودار e در مقابل $\log p$ نقطه ای مثل a تعیین نمایید که دارای حداقل شعاع انحصار باشد.
۲. خط افقی ab را رسم کنید.
۳. مماس ac را در نقطه a بر منحنی رسم کنید.
۴. خط cd یعنی نیمساز زاویه bac را رسم کنید.
۵. قسمت خطی gh نمودار e در مقابل $\log p$ را به سمت عقب ادامه دهید تا ad را در f قطع کند. طول نقطه f فشار پیش تحکیم یافته است.

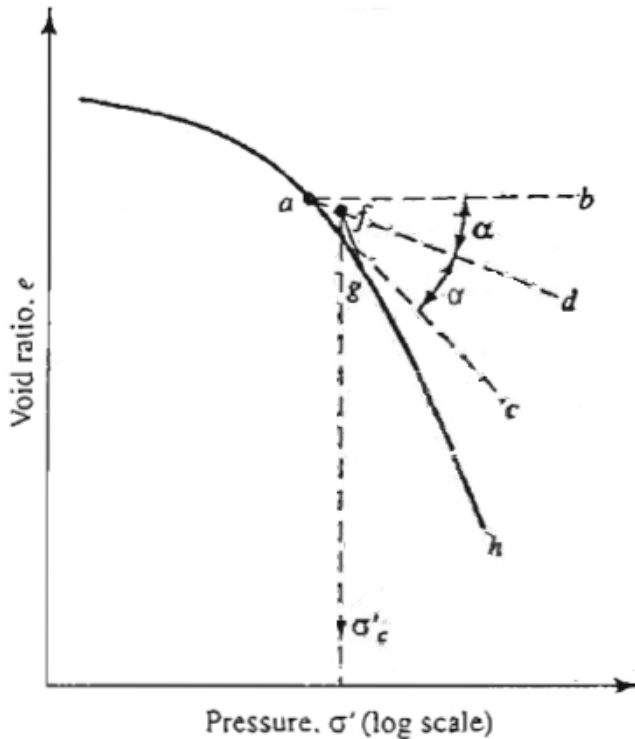
نسبت پیش تحکیم (OCR) برای یک خاک به صورت زیر تعریف میشود:

$$OCR = \frac{P_c}{P} \quad (A-7)$$

که در آن:

P_c = فشار پیش تحکیم در روی نمونه

P = فشار سربار موجود در روی نمونه

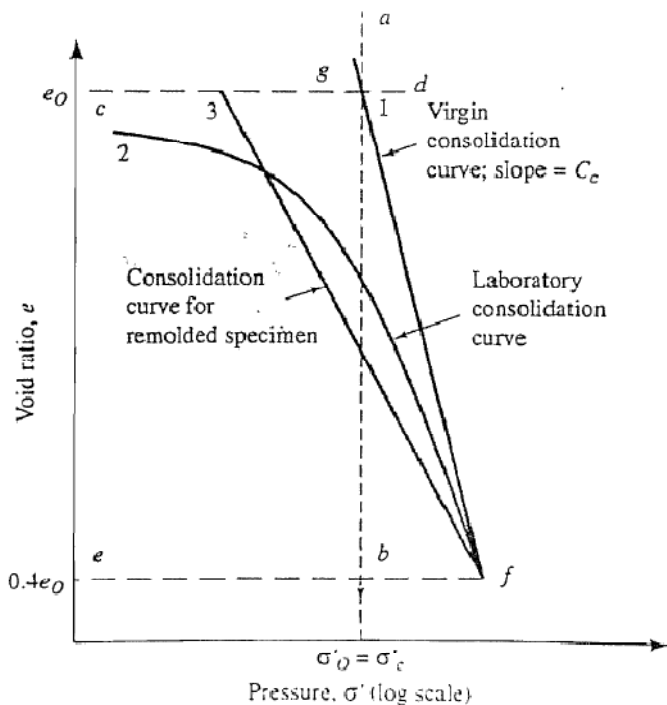


شکل ۷ - ۷ روش ترسیمی برای تعیین فشار پیش تحکیمی

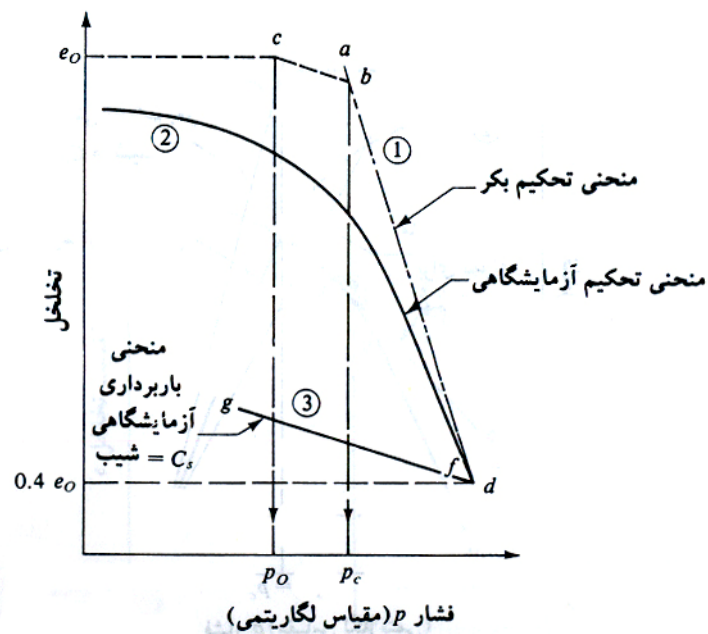
۵-۷ | تأثیر دست خوردگی در نمودار تخلخل - فشار

دست خوردگی نمونه در روی نمودار تخلخل - فشار تأثیر می گذارد. برای یک خاک رس عادی تحکیم یافته با حساسیت کم تا متوسط (شکل ۷ - ۸) تحت فشار سربار مؤثر P_0 با نسبت تخلخل e_0 ، تغییرات نسبت تخلخل با افزایش فشار در صحراء تقریباً به صورت منحنی ۱ خواهد بود که منحنی تحکیم بکر نامیده میشود و تقریباً در روی مقیاس نیمه لگاریتمی به صورت خط مستقیم است. لیکن منحنی تحکیم آزمایشگاهی برای یک نمونه نسبتاً دست نخورده از همان خاک مطابق منحنی ۲ خواهد بود که در سمت چپ منحنی ۱ قرار دارد. اگر نمونه کاملاً به هم خورده و آزمایش تحکیم روی آن انجام شود منحنی تحکیم مطابق منحنی شماره ۳ خواهد بود. منحنی های ۱ و ۲ و ۳ یکدیگر را تقریباً در نسبت تخلخل $e = 0.4e_0$ قطع میکنند (ترزاوی و پیک ۱۹۶۷).

برای یک خاک رسی پیش تحکیم یافته با حساسیت کم تا متوسط که تحت فشار پیش تحکیم P_c قرار داشته است (شکل ۷-۹) و فشار سربار موجود و نسبت تخلخل نظیر به ترتیب مساوی P_0 و e_0 میباشد منحنی تحکیم صحرایی تقریباً دارای مسیر cdb خواهد بود. اشمرتمن (۱۹۵۳) چنین نتیجه گیری کرد که شیب خط cb ، که مسیر تحکیم مجدد صحرایی است تقریباً مشابه شیب منحنی باربرداری fg است.



شکل ۷-۸ - خصوصیت تحکیم رس عادی تحکیم یافته با حساسیت کم تا متوسط

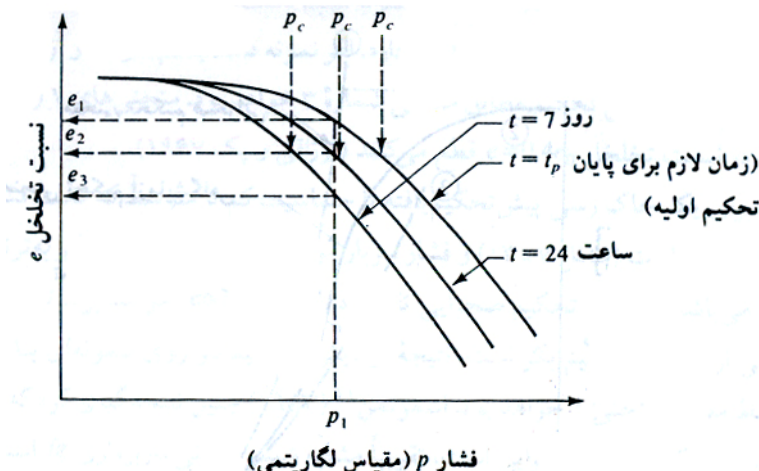


شکل ۷-۹ - خصوصیت تحکیم رس پیش تحکیم با حساسیت کم تا متوسط

۶-۷ | تأثیر سایر عوامل در رابطه $e - \log p$ |

در ابتدای فصل اشاره شد که در آزمایش تحکیم مرسوم هر بارگذاری روی نمونه به مدت ۲۴ ساعت حفظ میشود. بعد از آن بار روی نمونه دو برابر میشود. این سوال پیش می آید که چه تغییری در روی نمودار $e - \log p$ در مقابل $\log p$ پیش می آید اگر (الف) زمان حفظ بار روی نمونه غیر از ۲۴ ساعت باشد (ب) با ثابت بودن تمام عوامل نسبت افزایش بار p / Δp غیر از ۱ انتخاب شود (ج) افزایش بار بر واحد سطح نمونه، p = بار موجود در روی نمونه بر واحد سطح).

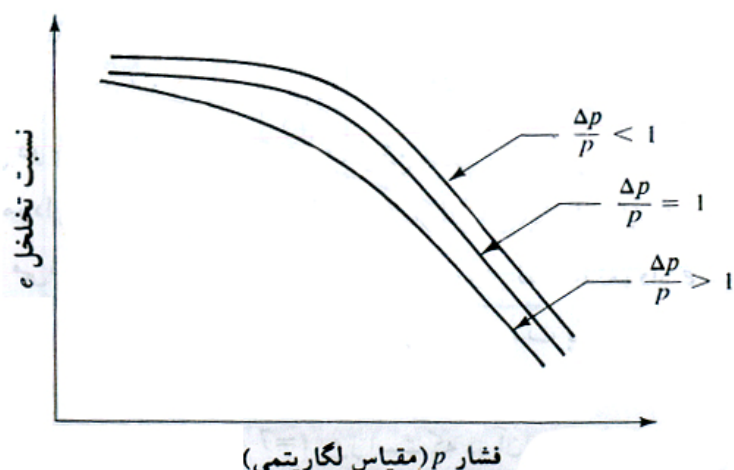
کرافورد (۱۹۶۴) آزمایش‌های متعددی روی خاک رس لدا انجام داد که در آنها میزان بار در دو مرحله پی در پی دو برابر می‌شد ($\Delta p/p = 1$)، لیکن مدت حفظ بار در روی نمونه‌ها متغیر بود. در شکل ۷-۱۰ نمودارهای e در مقابل p حاصل از این آزمایشها نشان داده شده است. از این منحنی‌ها مشاهده می‌شود که با افزایش زمان حفظ بار در روی نمونه، نمودار e در مقابل p به تدریج به سمت چپ حرکت می‌کند. بدین معنی که برای هر شدت بار وارد بر روی نمونه p ، نسبت تخلخل در انتهای تحکیم، با افزایش t ، کاهش می‌یابد. برای مثال در شکل ۷-۱۰، $p = p_1$ ، $e = e_1$ برای $t = 24$ ساعت و $e = e_2$ برای $t = 7$ روز است که در آن $e_2 < e_3$ می‌باشد.



شکل ۷-۱۰ تأثیر دوام بار در روی نمودار نسبت تخلخل - فشار

علت چنین تغییراتی در روی منحنی e در مقابل $\log p$ این است که با افزایش زمان t مقدار تحکیم ثانویه نمونه افزایش می‌یابد که این موضوع باعث کاهش نسبت تخلخل e می‌شود. توجه شود که در منحنی‌های شکل ۷-۱۵، مقادیر نسبتی مختلفی برای فشار پیش تحکیم p_c به دست می‌آید. با کاهش زمان t مقدار p_c افزایش می‌یابد.

نسبت افزایش بار $\Delta p/p$ نیز در روی منحنی e در مقابل $\log p$ تأثیر می‌گذارد. این موضوع توسط لئوناردو اشنافل دقیقاً مورد بحث قرار گرفته است (۱۹۶۴). شکل ۷-۱۱ تغییرات منحنی e در مقابل $\log p$ را برای مقادیر مختلف $\Delta p/p$ نشان میدهد. با افزایش تدریجی $\Delta p/p$ منحنی‌های e در مقابل $\log p$ به تدریج به سمت چپ حرکت می‌کنند.

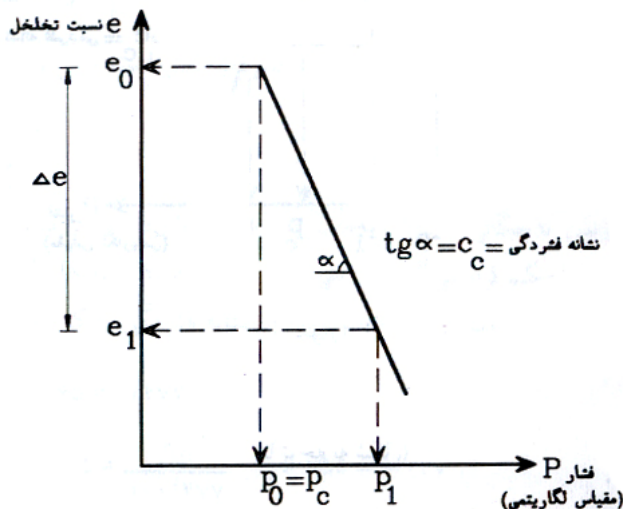


شکل ۷-۱۱ تأثیر نسبت افزایش بار در منحنی‌های e در مقابل $\log p$

۷-۷ | محاسبه نشست تحکیم اولیه یک بعدی

(الف) رس عادی تحکیم یافته

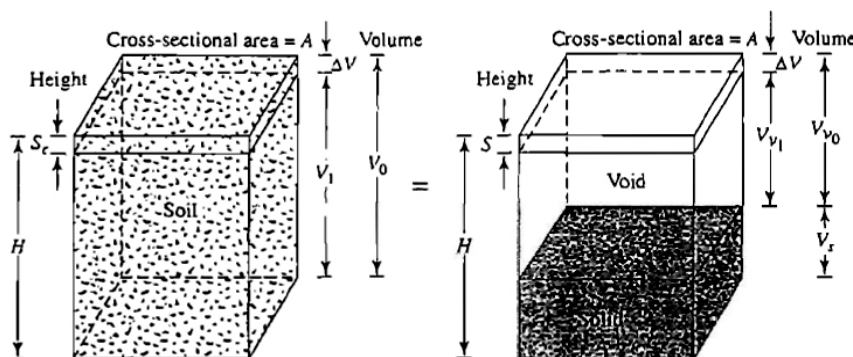
با اطلاعات به دست آمده از نتایج آزمایش تحکیم می توان محاسبات نشست احتمالی به علت تحکیم اولیه را با فرض تحکیم یک بعدی انجام داد. برای رس های عادی تحکیم یافته که نمودار نسبت تخلخل در مقابل $\log p$ آن ها خطی است می توان نوشت (شکل ۱۲-۷):



شکل ۱۲-۷ نمودار فشار - نسبت تخلخل صحرایی رس عادی تحکیم یافته

$$\Delta e = C_c [\log(p_o + \Delta p) - \log p_o] \quad (9-7)$$

که در آن C_c شیب نمودار e در مقابل $\log p$ است که نمایه فشردگی نامیده می شود. با قرار دادن رابطه فوق در رابطه زیر:



شکل ۱۳-۷ نشست فاشی از تحکیم یک بعدی

$$\frac{\Delta H}{H_o} = \frac{\Delta e}{1 + e_o}$$

به دست می آید:

$$\Delta H = S = \frac{C_c \cdot H_o}{1 + e_o} \log \left(\frac{p_o + \Delta p}{p_o} \right) \quad (10-7)$$

برای یک لایه رس ضخیم دقیقتراست که لایه به لایه هایی با ضخامت کمتر تقسیم شده و برای هر لایه محاسبات به طور جداگانه انجام شود مجموع این نشستهای جزیی نشست کل برای تمام لایه ها را به دست میدهد:

$$S = \sum \left[\frac{C_c \cdot H_i}{1 + e_o} \log \left(\frac{p_{o(i)} + \Delta p_{(i)}}{p_{o(i)}} \right) \right] \quad (11-7)$$

که در آن:

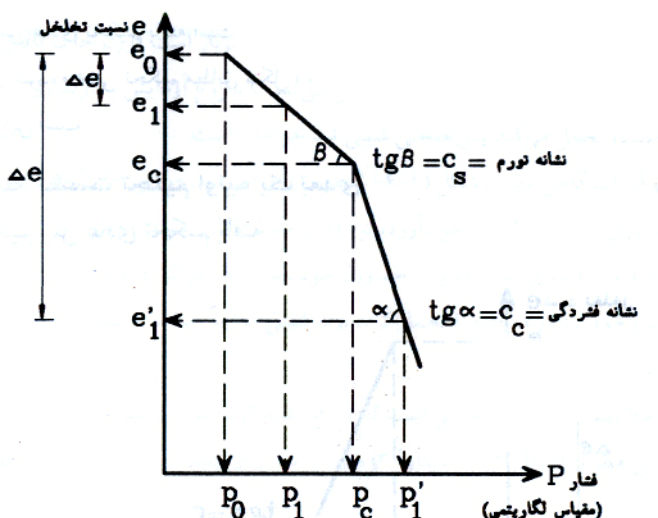
$$H_i = \text{ضخامت لایه } i$$

$$p_{o(i)} = \text{فشار سربار موثر متوسط اولیه برای لایه } i$$

$$\Delta p_{o(i)} = \text{افزایش فشار قائم برای لایه } i$$

(ب) رس پیش تحکیم یافته

در رس پیش تحکیم یافته (شکل ۱۴-۷)، برای $p_0 + \Delta p \leq p_c$ تغییرات صحرایی e در امتداد خط خواهد بود که شبیه آن تقریباً مساوی شبیه منحنی برگشت درآزمایشگاه است. شبیه منحنی برگشت C_s نشانه تورم نامیده میشود بنابراین:



شکل ۱۴-۷ نمودار فشار-نسبت تخلخل صحرایی رس پیش تحکیم یافته

$$\Delta e = C_s [\log(p_0 + \Delta p) - \log p_0] \quad (12-7)$$

$$\frac{\Delta H}{H_o} = \frac{\Delta e}{1 + e_o}$$

با ترکیب روابط فوق داریم:

$$\Delta H = S = \frac{C_s \cdot H}{1 + e_o} \log \left(\frac{p_0 + \Delta p}{p_0} \right) \quad (13-7)$$

اگر $p_0 + \Delta p > p_c$ باشد داریم:

$$\Delta H = S = \frac{C_s H}{1 + e_o} \log \frac{p_c}{p_0} + \frac{C_c H}{1 + e_o} \log \left(\frac{p_0 + \Delta p}{p_c} \right) \quad (14-7)$$

| نشانه فشردگی | ۸-۷

با داشتن نمودار آزمایشگاهی e در مقابل p میتوان بطور ترسیمی نشانه فشردگی را برای انجام محاسبات نشست تحکیم به دست آورد. ترازقی و پک (۱۹۶۷) روابط تجربی زیر را برای نشانه فشردگی توصیه کرده است:

برای رسهای دست نخورده:

$$C_c = 0.009(LL - 10) \quad (15-7)$$

برای رسهای بهم خورده:

$$C_c = 0.007(LL - 10) \quad (16-7)$$

که در آنها LL حد مایع (حد روانی) بر حسب درصد است.
درنیوود اطلاعات آزمایشگاهی تحکیم رابطه ۱۵-۷ معمولاً برای محاسبات تقریبی تحکیم در صحراء بکار گرفته میشود.

| نشانه تورم | ۹-۷

نشانه تورم به طور قابل ملاحظه ای کوچکتر از نشانه فشردگی است و آن را معمولاً میتوان از نتایج آزمایشگاهی به دست آورد.
در اغلب حالات میتوان نوشت:

$$C_s \approx \frac{1}{5} \text{ to } \frac{1}{10} C_c \quad (17-7)$$



نتایج یک آزمون آزمایشگاهی تحکیم ببروی نمونه رسی به صورت زیراست:

(kN/m^2)	p	e	نسبت تخلخل
23.94		1.112	
47.88		1.105	
95.76		1.080	
191.52		0.985	
383.04		0.850	
766.08		0.731	

مطلوب است:

الف: رسم نمودار

ب: تعیین فشار پیش تحکیمی

پ: تعیین نشانه فشردگی



الف : نمودار $e-log p$ این نمودار مطابق شکل ۱۹-۷ میباشد:

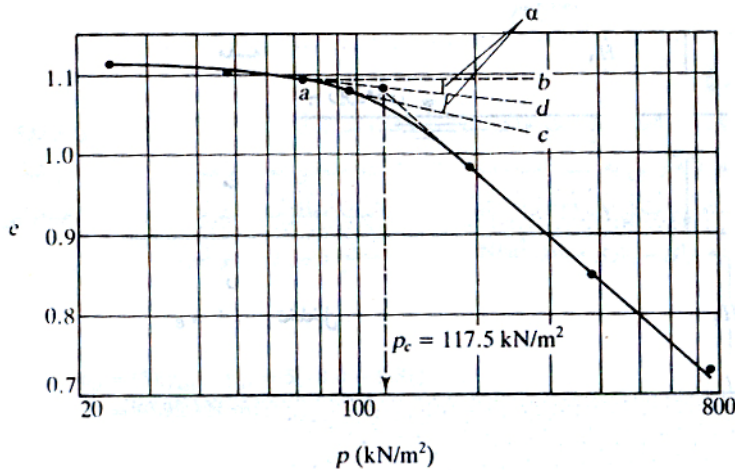
قسمت ب: با استفاده از روش پیشنهادی کاساگرانده، فشار پیش تحکیمی از نمودار $e-log p$ شکل ۱۹-۷ به دست می آید.
داریم:

$$p_c = 117.5 kN/m^2$$

قسمت پ: با استفاده از نمودار $e-log p$ میتوان نوشت:

$$p_2 = 500 kN/m^2, e_2 = 0.8$$

$$p_1 = 300 kN/m^2, e_1 = 0.9$$



درنتیجه:

$$C_a = \frac{e_1 - e_2}{\log\left(\frac{p_2}{p_1}\right)} = \frac{0.9 - 0.8}{\log\left(\frac{500}{300}\right)} = 0.451$$

۱۰-۷ فشست به علت تحکیم ثانویه

دربخش ۳-۷ نشان داده شد که در پایان تحکیم اولیه (یعنی بعد از زایل شدن کامل فشارآب اضافی) به علت تغییرشکل پلاستیک اسکلت خاک مقداری نشست رخ میدهد این مرحله از تحکیم به تحکیم ثانویه معروف است. در حین تحکیم ثانویه نمودار تغییر شکل در مقابل لگاریتم زمان عملاً خطی است (شکل ۳-۷). تغییرات نسبت تخلخل e در مقابل زمان t برای یک افزایش بار مشابه چیزی است که در شکل ۳-۷ نشان داده شده است. این موضوع در شکل ۱۵-۷ نیزقابل مشاهده است. با استفاده از شکل ۱۵-۷ نشانه تحکیم ثانویه به صورت زیر تعریف میشود:

$$C_a = \frac{\Delta e}{\log t_2 - \log t_1} = \frac{\Delta e}{\log(t_2 / t_1)} \quad (18-7)$$

که در آن:

C_a = نشانه تحکیم ثانویه

Δe = تغییرات نسبت تخلخل

t_1, t_2 = زمان

مقدار تحکیم ثانوی میتواند به صورت زیر محاسبه شود:

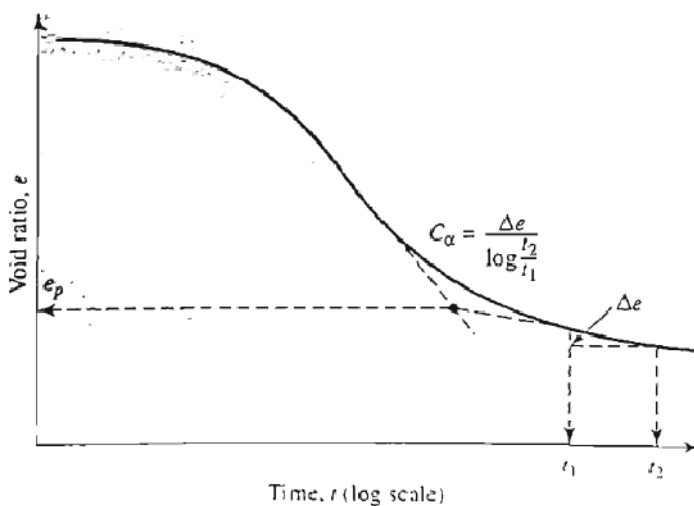
$$S_s = C'_a H \log(t_2 / t_1) \quad (19-7)$$

که در آن:

$$C'_a = C_a / (1 + e_p) \quad (20-7)$$

e_p = نسبت تخلخل در انتهای تحکیم اولیه

H = ضخامت لایه رسی



شکل ۷-۱۵ تغییرات e در مقابل $\log t$ تحت افزایش بار و تعریف نشانه تحکیم ثانویه

عوامل زیادی وجود دارد که ممکن است در روی مقدار تحکیم ثانویه مؤثر باشند و بعضی از آنها تاکنون به طور روش فهمیده نشده اند (مصری - ۱۹۷۳). نسبت تحکیم ثانویه به تحکیم اولیه برای یک لایه خاک بستگی به نسبت افزایش تنش Δp به تنش مؤثر اولیه p دارد برای نسبتهای کوچک $p/\Delta p$ نسبت تحکیم ثانویه به اولیه بزرگتر است.

نکته : !

نشست ناشی از تحکیم ثانویه در خاک های آلی و غیر آلی با قابلیت فشردگی زیاد مهمتر است به طوری که در رس های غیر آلی پیش تحکیم نیافته، نشانه تحکیم ثانویه بسیار کوچک است.

نکته : !

نسبت تحکیم ثانویه به تحکیم اولیه برای یک لایه خاک بستگی به نسبت افزایش بارگذاری ($\Delta p/p$) دارد و برای نسبت های کوچک ($\Delta p/p$)، نسبت تحکیم ثانویه به تحکیم اولیه بزرگتر است.

۱۱-۷ سرعت تحکیم

با استفاده از یکی از روابطی که در قسمت های قبل ارائه شد میتوان نشست کل ناشی از تحکیم اولیه را به علت افزایش تنش در روی لایه رسی محاسبه نمود. لیکن معادلات فوق هیچگونه اطلاعاتی درخصوص سرعت تحکیم به دست نمی دهند. ترازوی در سال ۱۹۲۵ اولین تئوری درخصوص سرعت تحکیم یک بعدی درخاکهای رسی را ارائه داد. حصول ریاضی تئوری بر پایه مفروضات زیر قرار دارد:

۱. سیستم آب - رس همگن است.
۲. خاک کاملاً اشباع است.
۳. آب غیر قابل تراکم است.

۴. دانه های خاک غیرقابل تراکم است.
 ۵. جریان آب فقط در یک امتداد است (امتداد تأثیر نیروی فشاری)
 ۶. قانون دارسی معتبر است.

برای محاسبه توزیع فشار منفذی u در عمق لایه خاک با در نظر گرفتن اثر زمان، معادله دیفرانسیل زیر باید با توجه به شرایط مرزی مسئله حل شود:

$$\frac{\partial u}{\partial t} = c_v \frac{\partial^2 u}{\partial z^2} \quad (21-7)$$

معادله فوق، معادله دیفرانسیل حاکم تئوری تحکیم یک بعدی ترزاقی نام دارد. پارامتر c_v در این معادله ضریب تحکیم بوده و

$$\text{برابر است با: } c_v = \frac{k}{m_v \cdot \gamma_w} \quad \text{که در این رابطه داریم:}$$

k = ضریب نفوذپذیری خاک

m_v = ضریب قابلیت فشرده‌گی حجمی که برابر است با: $a_v = \frac{\Delta e}{\Delta \sigma'}$ و $m_v = \frac{a_v}{1 + e_0}$ ضریب قابلیت فشرده‌گی نام دارد.

حل معادله دیفرانسیل به دست می‌دهد:

$$u = \sum_{m=0}^{m=\infty} \left[\frac{2u_0}{M} \sin \left(\frac{Mz}{H_{dr}} \right) \right] e^{-M^2 T_v} \quad (22-7)$$

که در این رابطه:

$$m = \text{عدد صحیح}$$

$$u_0 = \text{فشار آب حفره ای اولیه}$$

H_{dr} = طول مسیر زهکشی مساوی نصف ضخامت لایه در زهکشی دو طرفه از بالا و پایین و مساوی ضخامت لایه در زهکشی یک طرفه از بالا یا پایین

T_v = عامل زمان: عامل بدون بعدی است که قادر است در شرایط متشابه آزمایشگاه و طبیعت، رابطه بین زمان و حداقل مسافت زهکشی را در دو نمونه آزمایشگاهی و طبیعی بیان کند. این عامل را می‌توان به صورت زیر محاسبه کرد:

$$T_v = \frac{c_v \cdot t}{H_{dr}^2} \quad (23-7)$$

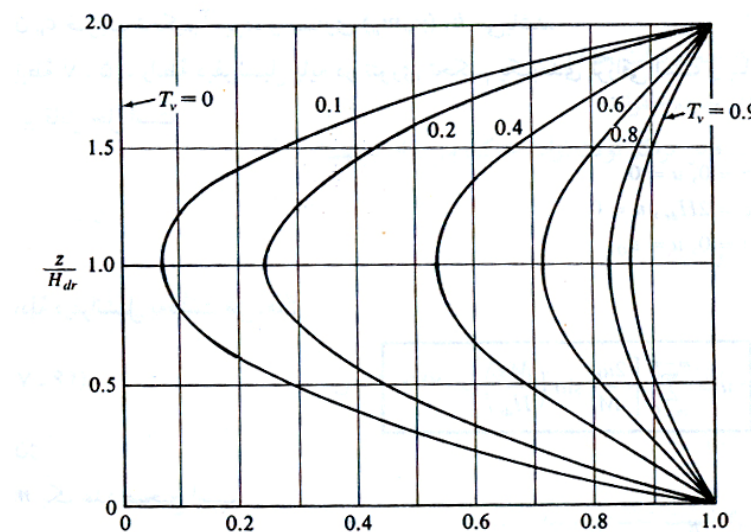
t = مدت زمانی که از شروع تحکیم گذشته است

از آنجایی که تحکیم با زائل شدن اضافه فشار آب حفره ای پیشرفت می‌کند، درجه تحکیم در عمق z در زمان t برابر است با:

$$U_z = \frac{u_0 - u_z}{u_0} = 1 - \frac{u_z}{u_0} \quad (24-7)$$

که در این رابطه u_z اضافه فشار آب حفره ای در زمان t است که از طریق رابطه ۲۲-۷ بدست می‌آید.

روابط ۲۲-۷ و ۲۴-۷ را می‌توان با هم ترکیب کرد تا درجه تحکیم در عمق z بدست آید. نتیجه حاصل در شکل ۱۶-۷ نشان داده شده است.

شکل ۷-۲۶ تغییرات درجه تحکیم U_z با T_v

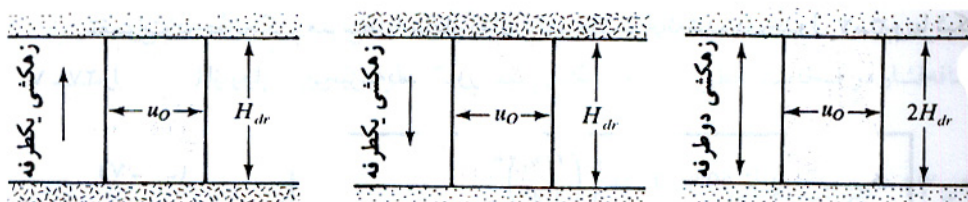
بنابراین برای بدست آوردن میزان پیشرفت تحکیم در هر نقطه از عمق خاک می‌توان با داشتن نسبت عمق و عامل زمان به راحتی و بدون نیاز به استفاده از معادله ۴۶-۷، پیشرفت تحکیم را با استفاده از شکل ۲۶-۷ بدست آورد.

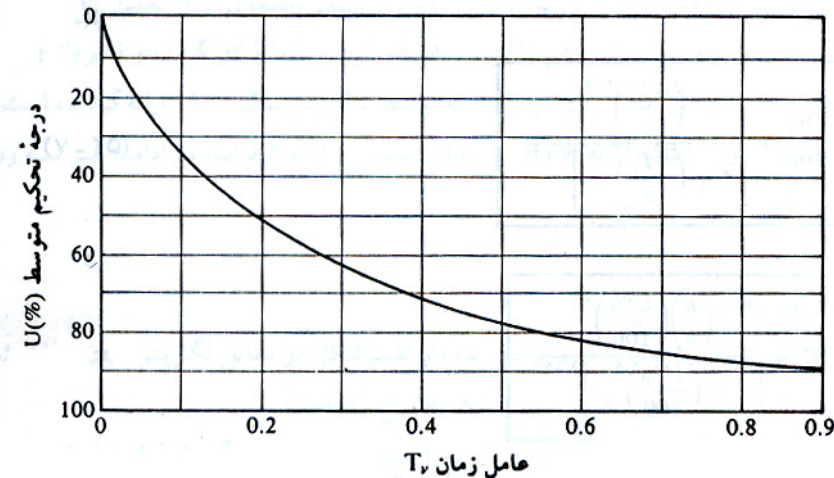
درجه تحکیم معمولاً برای یک نقطه از خاک تحکیم پذیر تعیین می‌گردد ولی در کارهای عملی بجای تعیین درجه تحکیم در یک نقطه، درجه تحکیم متوسط لایه محاسبه می‌گردد. درجه تحکیم متوسط یک لایه در زمان t (مدت زمانی که از شروع عمل تحکیم گذشته است) را می‌توان به صورت زیر محاسبه کرد:

$$U = \frac{S_t}{S} = \frac{\Delta H_t}{\Delta H_\infty} \quad (25-7)$$

که در این رابطه S_t و ΔH_t نشست لایه در زمان t و S و ΔH_∞ نشست نهایی لایه به علت تحکیم اولیه هستند.

در جدول ۱-۷، تغییرات درجه تحکیم متوسط بر حسب عامل زمان بدون بعد T_v ارائه شده که جدول مذکور در شکل ۱۷-۷ نشان داده شده است. توجه به این نکته ضروری است که درجه تحکیم متوسط ارائه شده در جدول ۱-۷ و شکل ۷-۲۶ برای حالتی است که تغییرات فشار آب حفره ای اولیه u_0 در ضخامت لایه ثابت باشد.





شکل ۷-۱۷ تغییرات درجه تحکیم متوسط با عامل زمان T_v (U در عمق لایه ثابت است)

جدول ۷-۱ تغییرات درجه تحکیم بر حسب عامل زمان

درجه تحکیم $U\%$	عامل زمان T_v
0	0
10	0.008
20	0.031
30	0.071
40	0.126
50	0.197
60	0.287
70	0.403
80	0.567
90	0.848
100	∞

تغییرات درجه تحکیم متوسط با عامل زمان برای حالات ارائه شده در جدول ۷-۱ و یا شکل ۷-۱۷ را می‌توان از روابط زیر نیز به دست آورد:

$$T_v = \frac{\pi}{4} \left(\frac{U\%}{100} \right)^2 \quad (26-7)$$

$$T_v = 1.781 - 0.933 \log(100 - U\%) \quad (27-7)$$

۱۲-۷ محاسبه نشست تحکیم زیر یک شالوده

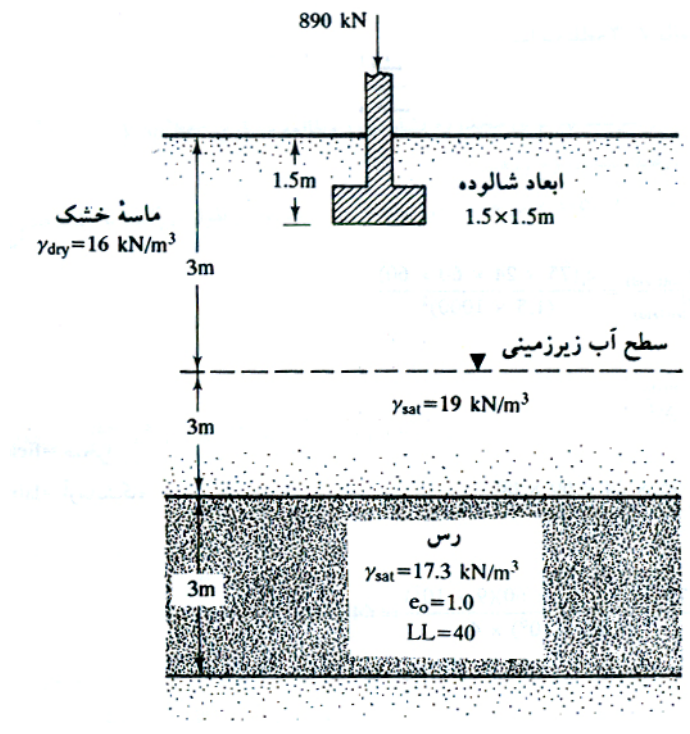
همانطور که می‌دانیم افزایش تنفس قائم در زیر خاک به علت باری که در روی سطحی محدود اعمال می‌شود با افزایش عمق کاهش می‌یابد. در این موارد نیز برای تخمین نشست تحکیم یک بعدی یک شالوده از روابط تحکیم یک بعدی استفاده می‌شود. لیکن افزایش تنفس Δp در این روابط باید مساوی متوسط افزایش فشار در زیر مرکز شالوده منظور شود که برای تعیین آن از رابطه وزنی زیر استفاده می‌شود:

$$\Delta p_{av} = \frac{\Delta p_t + 4\Delta p_m + \Delta p_b}{6} \quad (28-7)$$

که در آن Δp_t ، Δp_m و Δp_b به ترتیب افزایش فشار بالا، وسط و پایین لایه می‌باشند. مقادیر فشارهای فوق می‌تواند با استفاده از روش شرح داده شده در فصل توزیع تنش تعیین گردد.

مثال:

با توجه به شکل (۱۸-۷)، مطلوب است محاسبه نشست لایه ۳ متری رس به علت تاثیر بار یک شالوده به ابعاد $1.5 \times 1.5\text{m}$ رس عادی تحریکیم یافته است برای تعیین متوسط افزایش تنش در لایه رسی از رابطه وزنی استفاده نمایید.



شکل ۱۸-۷

حل مسئله:

برای رس به طور عادی تحریکیم داریم:

$$S = \frac{C_c \cdot H}{1 + e_0} \log \frac{p_o + \Delta p}{p_o}$$

$$C_c = 0.009(LL - 10) = 0.009(40 - 10) = 0.27$$

$$H = 300\text{cm}$$

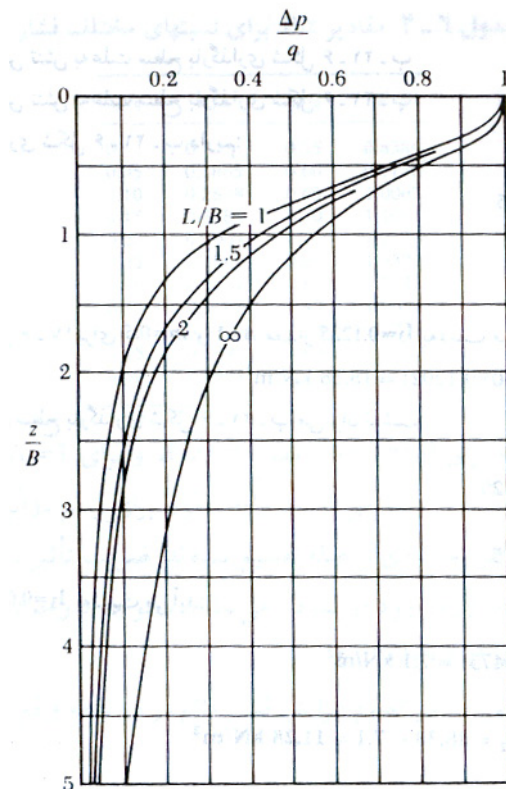
$$e_0 = 1$$

$$p_o = 3 \times 16 + 3 \times (19 - 9.81) + 1.5 \times (17.3 - 9.81) = 86.81\text{kN/m}^2$$

برای تعیین افزایش تنش متوسط با استفاده از رابطه وزنی میتوان نوشت:

$$\Delta p = \frac{\Delta p_t + 4\Delta p_m + \Delta p_b}{6}$$

که در آن Δp_t ، Δp_m و Δp_b در زیر مرکز شالوده با استفاده از شکل زیر قابل تعیین است.



$$\Delta p_t(z = \frac{4.5}{1.5}B = 3B) = 0.055p$$

$$\Delta p_m(z = \frac{6}{1.5}B = 4B) = 0.028p$$

$$\Delta p_b(z = \frac{7.5}{1.5}B = 5B) = 0.02p$$

بنابراین:

$$\Delta p = \frac{[0.055 + (4 \times 0.028) + 0.02]p}{6} = 0.03116p$$

از طرفی

$$p = \frac{890}{1.5 \times 1.5} = 395.56 \text{ kN/m}^2$$

در نتیجه

$$\Delta p = 0.03116 \times 395.56 = 12.33 \text{ kN/m}^2$$

با قراردادن مقادیر محاسبه شده در رابطه نشست به دست می آید:

$$S = \frac{0.27 \times 300}{1+1} \log \frac{86.81 + 12.33}{86.81} = 2.34 \text{ cm}$$

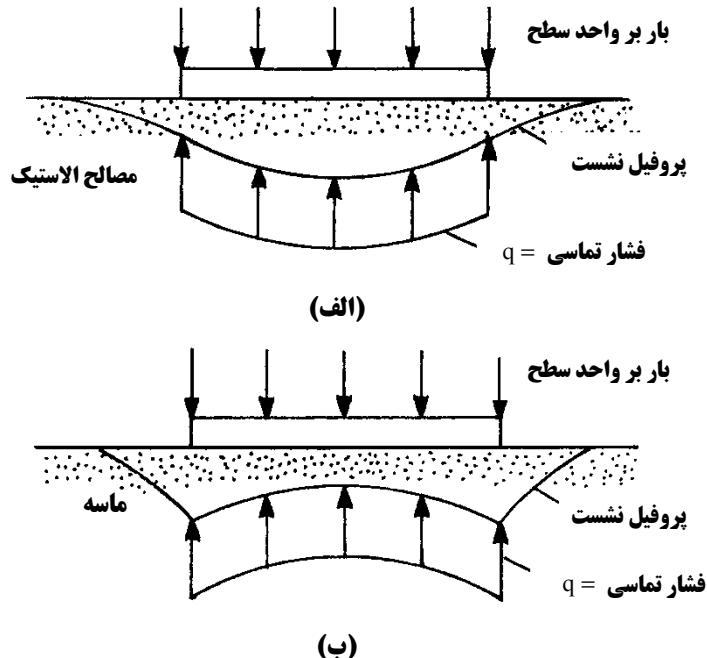
| نشست آنی (ارتجاعی) | ۱۳-۷

شالوده انعطاف پذیر و سخت

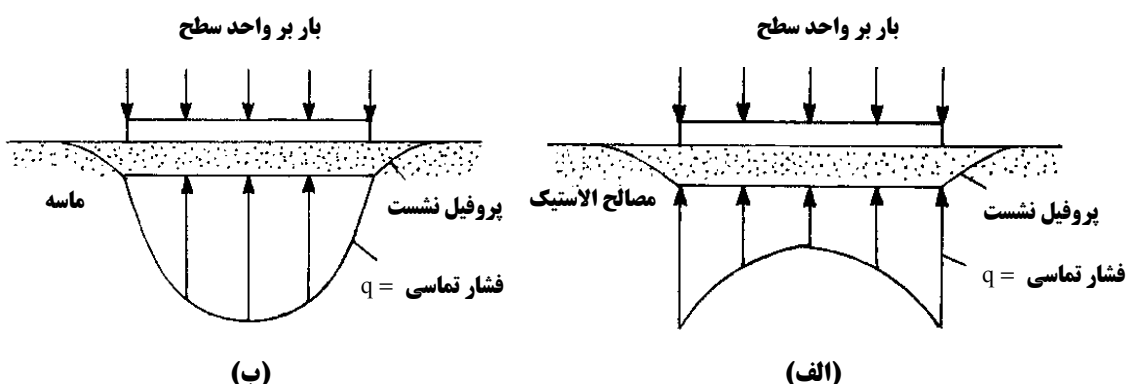
نشست آنی و یا الاستیک یک شالوده بلا فاصله بعد از اعمال بار بدون تغییری در میزان رطوبت به دست می آید. مقدار نشست تماسی بستگی به انعطاف پذیری شالوده و نوع مصالح پی دارد.

وقتی که یک شالوده کاملاً انعطاف پذیر با بار گستردگی در روی سطح الاستیک نظیر رس اشباع قرار گیرد به علت نشست الاستیک مطابق شکل ۱۹-۷-الف شکل مقرر به خود می گیرد لیکن وقتی که شالوده سخت باشد و در روی مصالح الاستیک نظیر رس قرار گیرد نشست حاصل یکنواخت خواهد بود ولی توزیع مجددی در تنفس تماسی حاصل شده و از حالت یکنواخت خارج می شود (شکل ۲۰-۷-ب).

چگونگی توزیع منحنی نشست و نمودار توزیع فشار تماسی مذکور در فوق برای خاکهایی صادق است که ضریب ارتجاعی (الاستیسیته) آنها در عمق نسبتاً ثابت باشد. در ماسه بدون چسبندگی ضریب الاستیسیته با عمق افزایش می یابد. به علاوه فقدان محدودیت جانبی در سطح زمین در لبه های شالوده وجود دارد. در نتیجه ماسه در لبه های شالوده شکل پذیر به سمت بیرون رانده شده و منحنی تغییر شکل شالوده به شکل محدب در می آید (شکل ۱۹-۷-ب). توزیع فشار تماسی برای شالوده انعطاف پذیر و سخت (یعنی نشست مساوی) در روی ماسه و مصالح الاستیک در شکل های ۱۹-۷ و ۲۰-۷ نشان داده شده است.



شکل ۷-۱۹ فشار تماسی و نشست فونداسیون انعطاف پذیر: (الف) مصالح الاستیک (ب) مصالح دانه ای



شکل ۷-۲۰ فشار تماسی و نشست فونداسیون صلب: (الف) مصالح الاستیک (ب) مصالح دانه ای

۱۴-۷ محاسبه نشست آنی بر پایه تئوری الاستیسیته

نشست آنی ممکن بر مصالح الاستیک (با ضخامت بی نهایت) را میتوان با روابط به دست آمده بر پایه اصول تئوری الاستیسیته محاسبه نمود. شکل کلی این روابط به صورت زیر است:

$$S_i = q \cdot B \frac{1 - \mu^2}{E} I_p \quad (۲۹-۷)$$

که در آن:

S_i = نشست الاستیک

q = فشار خالص موثر

B = عرض شالوده یا قطر شالوده دایره

$$\mu = \text{نسبة پواسون}$$

$$E = \text{معامل ارجاعی خاک}$$

$$I_p = \text{معامل تأثیر بدون بعد}$$

در جدول ۷-۲ ضرایب تأثیر برای شالوده های سخت و انعطاف پذیر و در جداول ۷-۳ و ۷-۴ نیز مقادیر بر ضرایب الاستیسیته و ضریب پواسون برای انواع خاکها ارائه شده است.

جدول ۷-۲ ضریب تأثیر برای شالوده ها (رابطه ۷-۵۹)

شکل	m_1	انعطاف پذیر		سخت	I_p
		مرکز	گوشه		
		-	-		
دایره	-	1.00	0.64	0.79	
مستطیل	1	1.12	0.56	0.88	
	1.5	1.36	0.68	1.07	
	2	1.53	0.77	1.21	
	3	1.78	0.89	1.42	
	5	2.10	1.05	1.70	
	10	2.54	1.27	2.10	
	20	2.99	1.49	2.46	
	50	3.57	1.8	3.0	
	100	4.01	2.0	3.43	

جدول ۷-۳ مقادیر ضرایب پواسون

نوع خاک	ضریب پواسون μ
ماسه شل	0.2 - 0.4
ماسه متوسط	0.25 - 0.4
ماسه متراکم	0.3 - 0.45
ماسه لای دار	0.2 - 0.4
رس نرم	0.15 - 0.25
رس متوسط	0.2 - 0.5

جدول ۷-۴ مقادیر ضریب الاستیسیته برای انواع خاک

نوع خاک	ضریب الاستیسیته	
	kg/cm^2	kN/m^2
رس نرم	17.5 - 35	1750 - 3500
رس سخت	60 - 140	6000 - 14000
ماسه شل	105 - 280	10500 - 28000
ماسه متراکم	350 - 700	35000 - 70000

توجه شود که حصول رابطه ۷-۲۹ با این فرض است که فشار q در سطح زمین تأثیر نماید. در عمل شالوده ها در عمق مشخصی در زیر سطح زمین قرار می گیرند. عمق شالوده مقدار نشست s_i را کاهش می دهد و استفاده از رابطه ۷-۲۹ در جهت محافظه کارانه خواهد بود.

| ۱۵-۷ | نشست کل شالوده |

نشست کل شالوده از رابطه زیر محاسبه می شود:

$$S_T = S_c + S_s + S_i \quad (30-7)$$

که در آن :

$$S_T = \text{نشست کل}$$

$$S_c = \text{نشست تحکیمی اولیه}$$

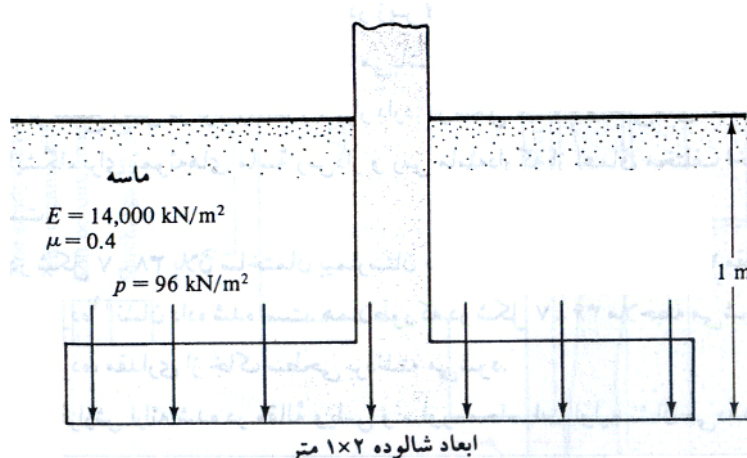
$$S_s = \text{نشست تحکیمی ثانویه}$$

$$S_i = \text{نشست آنی}$$

وقتی که شالوده در روی رس با قابلیت فشردگی زیاد قرار گیرد نشست تحکیم چندین برابر نشست آنی S_i خواهد بود.

مثال : 

مطابق شکل ۷ - ۲۱ شالوده مستطیلی ستونی را در نظر بگیرید که در روی یک لایه ماسه ای با ضخامت زیاد قرار دارد با فرض شالوده صلب، $E_s = 14000 \text{ kN/m}^2$ ، $\mu = 0.4$ و افزایش فشار خالص مساوی $p = 96 \text{ kN/m}^2$ مطلوب است تعیین نشست الاستیک (نشست آنی).



شکل ۷-۲۱

با استفاده از رابطه ۷ - ۲۹ میتوان نوشت:

$$S_i = qB \frac{1-\mu^2}{E_s} I_p$$

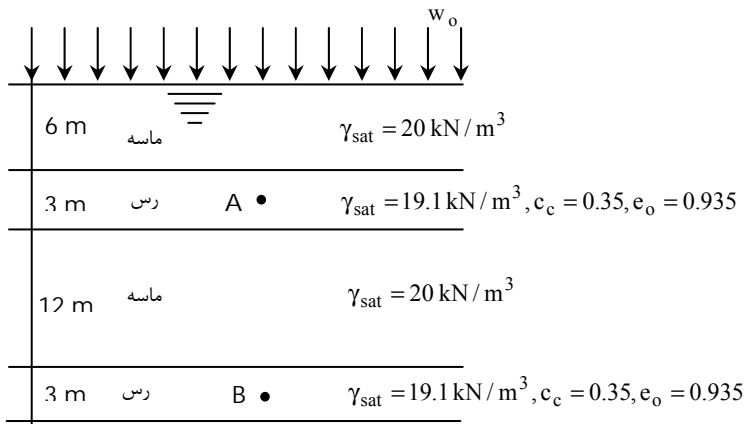
: داریم

$$B = 1\text{m}, L = 2\text{m}, m_1 = L/B = 2/1 = 2\text{m}$$

از جدول ۷ - ۲ برای شالوده صلب داریم:

$$S_i = 96 \times 1 \times \left(\frac{1 - 0.4^2}{14000} \right) \times 1.21 = 0.00697 = 6.97\text{mm}$$

مثال: بار یکنواختی به شدت $w_0 = 145 \text{ kN/m}^2$ بر روی یک سطح وسیع پخش شده است. با توجه به شکل، مطلوب است تعیین نشست تحکیم خاک.



$$\Delta H = \frac{C_c H_0}{1 + e_0} \log \left[\frac{p_0 + \Delta p}{p_0} \right]$$

A نقطه: $P_0 = 6 \times (20 - 10) + 3(19.1 - 10) \times 0.5 = 73.65 \text{ kN/m}^2$

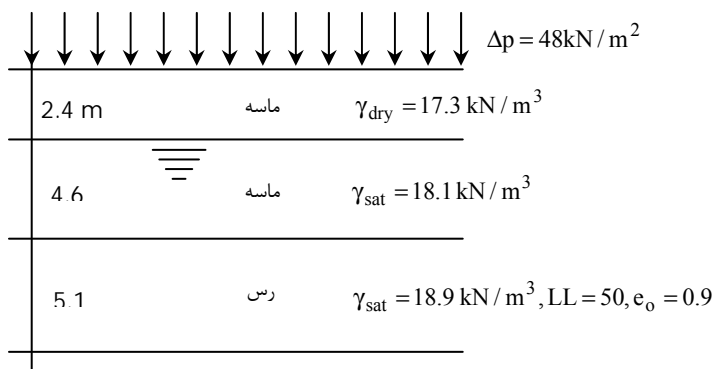
$$\Delta H_1 = \frac{0.35 \times 3 \times 1000}{1 + 0.935} \log \left[\frac{73.65 + 145}{73.65} \right] = 265.5 \text{ mm}$$

B نقطه: $P_0 = 6 \times (20 - 10) + 3 \times (19.1 - 10) + 12 \times (20 - 10) + 1.5(19.1 - 10) = 220.95 \text{ kN/m}^2$

$$\Delta H_2 = \frac{0.35 \times 3 \times 1000}{1 + 0.935} \log \left[\frac{220.95 + 145}{220.95} \right] = 118.906 \text{ mm}$$

$$\rightarrow \Delta H = \Delta H_1 + \Delta H_2 = 265.5 + 118.9 = 375.4 \text{ mm}$$

مثال: در پروفیل خاک نشان داده شده در شکل زیر چنانچه بار یکنواختی به شدت ΔP در سطح زمین اعمال شود، نشست لایه رسی به علت تحکیم اولیه چقدر خواهد بود. ماسه موجود در بالای تراز آب زیرزمینی را کاملاً خشک فرض نمایید.



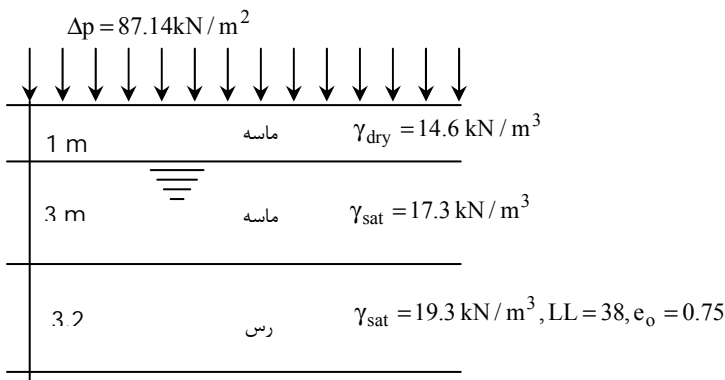
رس عادی تحکیم:

$$C_c = 0.009(LL - 10) = 0.36$$

$$P_0 = 17.3 \times 2.4 + 4.6 \times (18.1 - 10) + \frac{5.1}{2} (18.9 - 10) = 101.475 \text{ kPa}$$

$$\Delta H = \frac{C_c H_0}{1 + e_0} \log \left[\frac{P_0 + \Delta P}{P_0} \right] = \frac{0.36 \times 5.1 \times 10^3}{1 + 0.9} \log \left[\frac{101.475 + 48}{101.475} \right] = 162.54 \text{ mm}$$

مثال قبل را با داده های زیر مجدداً حل نمایید:



$$C_c = 0.009(LL - 10) = 0.009(38 - 10) = 0.252$$

$$P_o = 14.6 + 3 \times (17.3 - 10) + \frac{3.2}{2} (19.3 - 10) = 51.38 \text{ kPa}$$

$$\Delta H = \frac{C_c H_o}{1 + e_o} \log \left[\frac{P_o + \Delta P}{P_o} \right] = \frac{0.252 \times 3.2 \times 10^3}{1 + 0.75} \log \left[\frac{51.38 + 87.14}{51.38} \right] = 198.475 \text{ mm}$$

مثال: اگر لایه رس مثال قبل پیش تحکیم یافته بوده و فشار پیش تحکیمی متوسط $P_c = 125 \text{ kN/m}^2$ باشد، تحت سربار $\Delta P = 48 \text{ kN/m}^2$ نشست اولیه چقدر خواهد بود. فرض کنید که $C_s = 1/6C_c$ می باشد.

$$P_o = 101.475 \text{ kN/m}^2$$

$$P_c = 125 \text{ kN/m}^2$$

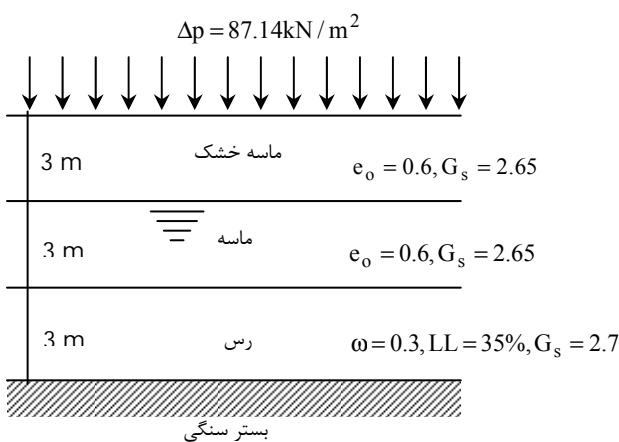
$$P_o + \Delta P > P_c$$

$$C_s = 1/6C_c = 1/6 \times 0.36 = 0.06$$

$$\Delta H = \frac{C_s H_o}{1 + e_o} \log \left(\frac{P_c}{P_o} \right) + \frac{C_c H_o}{1 + e_o} \log \left(\frac{P_o + \Delta P}{P_o} \right)$$

$$\Delta H = \frac{0.06 \times 3.2 \times 10^3}{1 + 0.9} \log \left(\frac{125}{101.475} \right) + \frac{0.36 \times 3.2 \times 10^3}{1 + 0.9} \left(\frac{101.475 + 48}{125} \right) = 14.583 + 75 = 89.625 \text{ mm}$$

مثال: در مقطع خاکی نشان داده شده فشار پیش تحکیمی مساوی 163 kN/m^2 می باشد. مطلوب است تخمین نشست تحکیم اولیه به علت سربار $\Delta P = 72 \text{ kN/m}^2$. فرض نمایید $C_s = 1/5C_c$



$$\gamma_{d(sand)} = \frac{G_s \gamma_w}{1+e} = \frac{2.65 \times 9.81}{1+0.6} = 16.24 \text{ kN/m}^3$$

$$\gamma_{sat} = \frac{G_s + e}{1+e} \cdot \gamma_w = \frac{2.65 + 0.6}{1+0.6} \cdot 9.81 = 19.926$$

$$S \cdot e = G_s \cdot \omega \rightarrow e = 2.7 \times 0.3 = 0.81$$

$$\gamma_{sat(clay)} = \frac{2.7 + 0.81}{1+0.81} \times 9.81 = 19 \text{ kN/m}^3$$

$$C_c = 0.009(LL - 10) = 0.009(35 - 10) = 0.225$$

$$C_c = 1/5 C_c = 0.2 \times 0.225 = 0.045$$

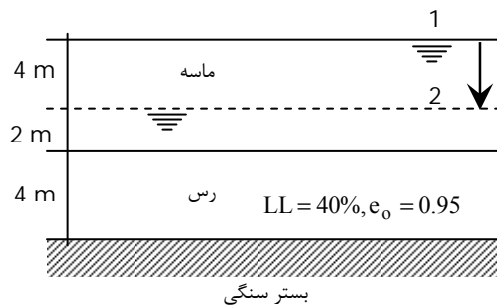
$$P_o = 3 \times 16.5625 + 3(20.3125 - 10) + \frac{3}{2}(19.4 - 10) = 92 \text{ kN/m}^2$$

$$P_c = 163 \text{ kN/m}^2$$

$$OCR = \frac{163}{94.725} = 1.72$$

$$\Delta H = \frac{C_s H_o}{1+e_o} \log \left[\frac{P_o + \Delta p}{P_o} \right] = \frac{0.045 \times 3 \times 1000}{1+0.81} \log \left[\frac{92+72}{92} \right] = 18.725 \text{ mm}$$

مثال: در پروفیل خاک نشان داده شده در شکل زیر تراز آب زیرزمینی توسط پمپاژ از سطح ۱ به سطح ۲ کاهش داده شده است. با توجه به اطلاعات داده شده میزان نشست تحکیمی را محاسبه نمایید.



$$\gamma_{d(sand)} = 17 \text{ kN/m}^3$$

$$\gamma_{sat(sand)} = 19 \text{ kN/m}^3$$

$$\gamma_{sat(clay)} = 18.6 \text{ kN/m}^3$$

$$C_c = 0.009(LL - 10) = 0.09(40 - 10) = 0.27$$

$$P_o = 6 \times (19 - 10) + \frac{4}{2}(18.6 - 10) = 71.2 \text{ kN/m}^2$$

$$P_o + \Delta p = 4 \times 17 + 2(19 - 10) + 2(18.6 - 10) = 103.2 \text{ kN/m}^2$$

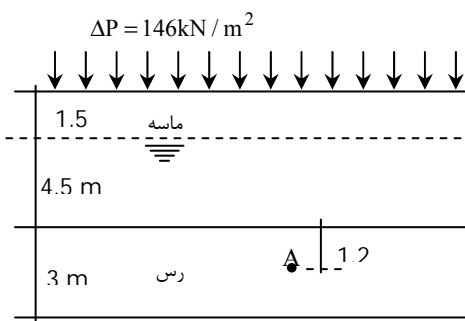
$$\Delta H = \frac{0.27 \times 4 \times 1000}{1+0.95} \log \left[\frac{103.2}{71.2} \right] = 89.28 \text{ mm}$$

مثال: در پروفیل خاک نشان داده شده سربار 146 kN/m^2 بر سطح زمین وارد شده است. مطلوب است:

(الف) بلافاصله بعد از اعمال سربار، تراز سطح آب در پیزومتر نصب شده در نقطه A.

(ب) برای $h = 6\text{m}$ ، درجه تحکیم در نقطه A چقدر است؟

(پ) وقتی درجه تحکیم در A به 80° درصد می‌رسد ارتفاع h چقدر است؟



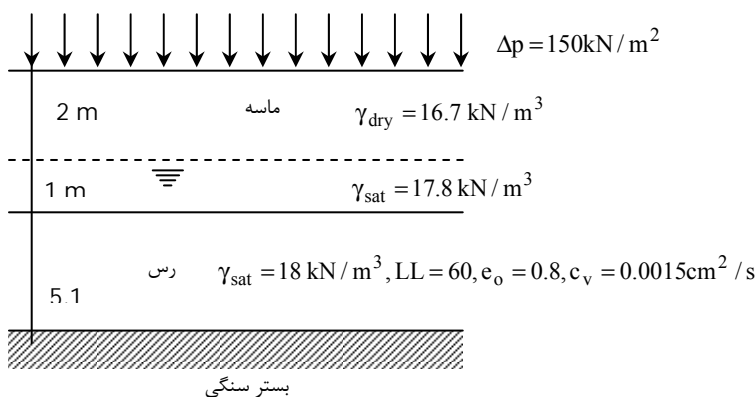
$$u_o = \Delta P = 146 \text{ kN/m}^2 \rightarrow u_o = \gamma_w \cdot h \rightarrow h = \frac{u_o}{\gamma_w} = \frac{146}{9.81} = 14.88 \text{ m}$$

$$h = 6\text{m} \rightarrow u = 6 \times 9.81 = 58.86 \text{ kPa}$$

$$u_z = \left(1 - \frac{u_z}{u_o}\right) \rightarrow u_z = \left(1 - \frac{58.86}{146}\right) \times 100 = 59.7\%$$

$$0.8 = 1 - \frac{u_z}{146} \rightarrow u_z = 0.2 \times 146 = 29.2 \text{ kPa} \rightarrow h = \frac{29.2}{9.81} = 2.976 \text{ m}$$

در پروفیل نشان داده شده در شکل زیر چه مدت طول می‌کشد که 50° درصد نشست نهایی رخ دهد.



$$C_c = 0.009(LL - 10) = 0.45$$

$$P_o = 16.7 \times 2 + (17.8 - 10) \times 1 + 2 \times (18 - 10) = 127.4 \text{ kN/m}^2$$

$$\Delta H = \frac{H_o C_c}{1 + e_o} \log \left[\frac{P_o + \Delta P}{P_o} \right] = \frac{4 \times 1000 \times 0.45}{1 + 0.8} \log \left[\frac{127.4 + 150}{127.4} \right] = 338 \text{ mm}$$

$$U = 50\% \rightarrow T_v = \frac{\pi}{4} U^2 = \frac{\pi}{4} (0.5)^2 = 0.1964$$

$$T_v = \frac{c_v t}{H_{dr}^2} \rightarrow 0.1964 = \frac{0.0015 \times t}{400^2} \rightarrow t = 242 \text{ days}$$

مثال: یک نمونه رس به ضخامت 25mm در آزمایشگاه تحت آزمایش تحکیم قرار گرفته و در طی ۱۰ دقیقه ۷۰ درصد تحکیم یافته است.
چقدر طول می کشد که نمونه ای از همان خاک در طبیعت به ضخامت 3m به همان درجه تحکیم برسد؟

$$U_1 = U_2 \rightarrow T_{v1} = T_{v2} \rightarrow \frac{c_v t_1}{H_{dr1}^2} = \frac{c_v t_2}{H_{dr2}^2} \rightarrow \frac{t_1}{t_2} = \left(\frac{H_{dr1}}{H_{dr2}} \right)^2$$

$$\rightarrow \frac{10}{t_2} = \left[\frac{25/2}{3000} \right]^2 \rightarrow t_2 = 576000 \text{ min} = 4000 \text{ days}$$

مثال: یک لایه رس اشباع به ضخامت 3m با زهکشی دوطرفه تحت سرباری، ۹۰٪ تحکیم اولیه خود را در ۷۵ روز انجام می دهد. ضریب تحکیم رس نامبرده را برای دامنه فشار مورد مسئله بددست آورید.

$$T_{90} = \frac{c_v t}{H_{dr}^2} = 0.848$$

$$H_{dr} = \frac{3}{2} = 1.5 \text{ m}$$

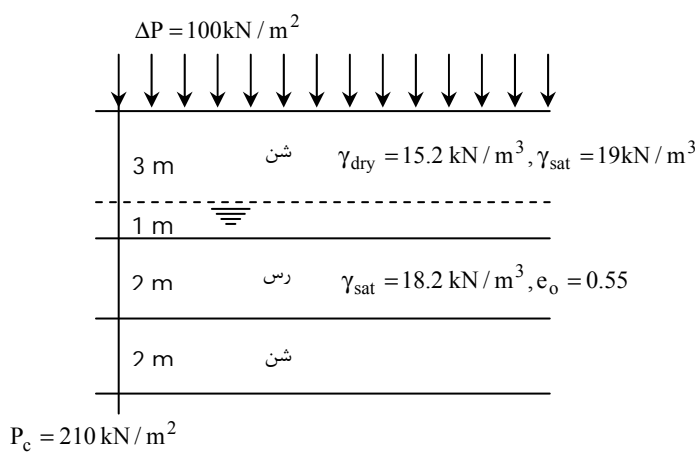
$$0.848 = \frac{c_v \times 75 \times 24 \times 60 \times 60}{(1.5 \times 1000)^2} \rightarrow c_v = 0.00284 \text{ cm}^2/\text{s}$$

مثال: چنانچه بار گسترده یکنواختی به شدت $q = 180 \text{ kN/m}^2$ مطابق شکل بر سطح زمین وارد شود، مطلوب است:

(الف) محاسبه نشست نهایی تحکیم لایه رس

(ب) محاسبه نشست ۴۰ روز پس از اعمال سربار

(پ) محاسبه زمان متناظر با ۴۰ درصد تحکیم نهایی



$$C_c = 0.35$$

$$C_s = 0.05$$

$$c_v = 0.002 \text{ cm}^2/\text{sec}$$

(الف)

$$P_o = 15.2 \times 3 + 1 \times (19 - 10) + 1 \times (18.2 - 10) = 62.8 \text{ kN/m}^2$$

$$P_o + \Delta P = 162.8 < P_c$$

$$\rightarrow \Delta H = \frac{C_s \cdot H_o}{1 + e_o} \log \left[\frac{P_o + \Delta P}{P_o} \right] = \frac{0.05 \times 2000}{1 + 0.55} \log \left[\frac{162.8}{62.8} \right] = 26.7 \text{ mm}$$

(ب)

$$t_v = \frac{c_v \cdot t}{H_{dr}^2} = \frac{0.002 \times 40 \times 24 \times 60 \times 60}{100^2} = 0.6912$$

$$0.6912 = 1.781 - 0.933 \log(100 - U) \rightarrow U = 85.3\%$$

$$St = U \times \Delta H = 0.853 \times 26.7 = 22.768 \text{ mm}$$

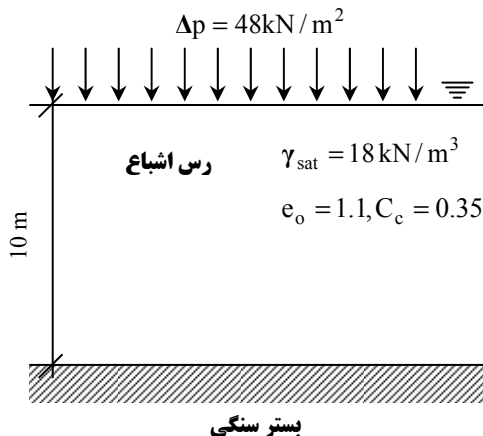
(ب)

$$T_v = \frac{c_v \cdot t}{H_{dr}^2} = \frac{\pi}{4} U^2 \rightarrow \frac{0.002 \times t}{100^2} = \frac{\pi}{4} \times 0.4^2 \rightarrow t = 7.272 \text{ days}$$

مثال:



در پروفیل خاک نشان داده شده، میزان نشست تحکیمی اولیه را یک بار با در نظر گرفتن کل لایه و بار دیگر با تقسیم لایه رس به سه قسمت فرضی محاسبه نمایید.

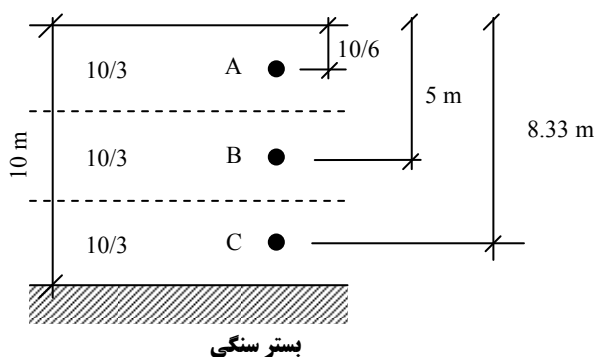


(الف)

$$P_o = (18 - 10) \times \frac{10}{2} = 40 \text{ kPa}$$

$$\Delta H = \frac{C_c \cdot H_o}{1 + e_o} \log \left[\frac{P_o + \Delta P}{P_o} \right] = \frac{0.35 \times 10 \times 1000}{1 + 1.1} \log \left[\frac{40 + 48}{40} \right] = 570.7 \text{ mm}$$

(ب)



$$\Delta H = \Sigma \frac{C_c \cdot H_i}{1 + e_o} \log \frac{P_{oi} + \Delta P_i}{P_{oi}}$$

$$P_{o(A)} = \frac{10}{6} (18 - 10) = 13.33 \text{kPa} \rightarrow S_{c(A)} = \frac{0.35 \times 3.33 \times 1000}{1 + 1.1} \log \left[\frac{13.33 + 48}{13.33} \right] = 367.877 \text{mm}$$

$$P_{o(B)} = 5 \times (18 - 10) = 40 \text{kPa} \rightarrow S_{c(B)} = \frac{0.35 \times 3.33 \times 1000}{1 + 1.1} \log \left[\frac{40 + 48}{40} \right] = 190.21$$

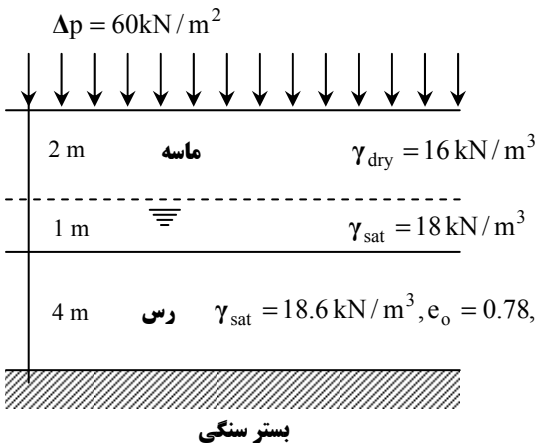
$$P_{o(C)} = 8.33 \times (18 - 10) = 66.64 \text{kPa} \rightarrow S_{c(C)} = \frac{0.35 \times 3.33 \times 1000}{1 + 1.1} \log \left[\frac{66.64 + 48}{66.64} \right] = 130.88$$

$$\Rightarrow S_c = 367.877 + 190.21 + 130.88 = 688.98 \text{mm}$$



در پروفیل خاک نشان داده شده فرض کنید تحکیم اولیه پس از ۴ سال تمام می شود مطلوب است محاسبه نشت تحکیمی

$$C_c = 0.38, C_s = 0.0475, P_c = 140 \text{kPa}, C_a = 0.022$$



$$P_o = 2 \times 16 + 1 \times (18 - 10) + \frac{4}{2} (18.6 - 10) = 57.2 \text{kPa}$$

$$P_o < P_c \rightarrow \text{خاک پیش تحکیم یافته است} \rightarrow \text{OCR} = \frac{P_c}{P_o} = \frac{140}{57.2} = 2.447$$

$$P_o + \Delta p = 57.2 + 60 = 117.2 \text{kPa} < P_c = 140 \text{kPa}$$

$$S_c = \frac{C_s \cdot H_o}{1 + e_o} \log \left[\frac{P_o + \Delta P}{P_o} \right] = \frac{0.0475 \times 4000}{1 + 0.78} \log \left[\frac{117.2}{57.2} \right] = 33.253 \text{mm}$$

$$\frac{\Delta H}{H_o} = \frac{\Delta e}{1 + e_o} \rightarrow \frac{33.253}{4000} = \frac{\Delta e}{1 + 0.78} = 0.0148$$

$$\Delta e = e_o - e_p \rightarrow e_p = e_o - \Delta e = 0.78 - 0.0148 = 0.7652$$

$$S_s = \frac{C_a \cdot H_c}{1 + e_p} \log \left[\frac{t_2}{t_1} \right] = \frac{0.022 \times 4000}{1 + 0.7652} \log \left[\frac{12}{4} \right] = 23.785$$

$$\Delta H = S = 23.785 + 33.253 = 57 \text{mm}$$

نکات و یادداشت ها

